

تأثير متغيرات التشغيل بعملية التفريغ الكهربائي

د. مصطفى احمد رجب

أستاذ مساعد

المعهد التقني - بعقوبة / قسم الميكانيكي

زهير سمين شكر

مدرس مساعد

المعهد التقني - بعقوبة / قسم الكهرباء

الخلاصة :

أوضحت نتائج البحث ان زيادة زمن مكوث النبضة يؤدي الى انخفاض معدل إزالة كل من معدن القطعة المشغلة والقطب وان أعلى معدل إزالة كان للكاربيد من نوع (GT 30) بينما كان أوطأً معدل إزالة للكاربيد من نوع (K 30)، والذي كان معدل استهلاك الأقطاب في (K 30) أعلى من النوع الأول (GT 30) كما أوضحت النتائج ان استهلاك أقطاب النحاس كان اكبر من استهلاك أقطاب الكرافيت بغض النظر عن مقدار زمن مكوث النبضة. من ناحية أخرى وجد أن زمن مكوث النبضة من (5 → 100) ميكروثانية يؤدي الى ارتفاع مقدار الخشونة السطحية وبالتالي الى انخفاض مقاومة الكسر العرضي .اما زيادة الضغط من (50 → 145) كيلو باسكال يقود الى انخفاض في معدل إزالة القطب في حين أن زراعته الى (250) كيلو باسكال يؤدي الى زيادة معدل إزالة القطب. وقد بينت النتائج أيضاً أن زيادة ضغط محلول الاكتروليتي من (50 → 145) كيلو باسكال يؤدي إلى انخفاض الخشونة السطحية والصلادة لجميع الكاربيدات المستخدمة، وبالتالي زيادة مقاومة الكسر العرضي ، بينما يحدث العكس من ذلك عند زيادة ضغط محلول الاكتروليتي إلى (250) كيلو باسكال .

Abstract

The results of research show that the increase in dwell time pulse leads to a decreased rate of removal of each metal piece and the operator and the pole removed, had the highest rate of carbide-type (GT 30) while the lowest rate of removal of carbide-type (K 30), which was the rate of consumption in the polar (K30) is higher than the first type (GT30) and the results showed that the consumption of copper cathode was greater than consumption of Graphite Electrodes, regardless of the amount of time of stay of pulse. On the other hand found that the time of stay of the pulse (5 → 100) ms lead to a high degree of surface roughness and therefore less resistance to accidental breakage. The increase of pressure (50 → 145) kPa leads to a decrease in the rate of removal of the pole, while the increase to (250) kPa leads to increase the rate of removal of the pole. The results showed also that increasing the pressure of the electrolytic solution (50 → 145) kPa leads to a reduction of surface roughness and hardness of all carbides used, and therefore increase the resistance of accidental breakage, while the opposite will happen that when you increase pressure solution to electrolytic (250) kPa.

الغرض من البحث :

يهدف البحث إلى دراسة تأثير متغيرات عملية التشغيل بالشرارة الكهربائية والمتضمنة على زمن مكوث النبضة وضغط المحلول الالكتروني على خواص كاربيدات القوالب (GT30، GT50، K30) المتمثلة بمقاومة الكسر العرضي والصدمة ، ومعدل إزالة الكاريبيد ، واستهلاك الأقطاب ، بغية تحسين كفاءة عملية التشغيل لمكائن القطع بالشرارة الكهربائية في معمل القوالب التابع لشركة نصر للصناعات الميكانيكية .

المقدمة : Introduction

تحصل عملية التشغيل بالشرارة الكهربائية نتيجة التفريغ الكهربائي الحاصل على سطح القطب والذي يكون بشكل معكوس للشكل النهائي المطلوب للمنتج ، حيث يتم التشغيل عندما يتولد سيل متواصل من الشرارة الكهربائية التي تصطدم بسطح الشعلة مؤدية إلى صهر (Melting) وتبخير المعدن (Vaporsing) ، لذا تكون فوهات (Craters) على السطح المشغل مما يؤدي إلى تنقير القطعة واستهلاك القطب، بينما يساعد المحلول الالكتروني على إزالة المخلفات (Debris) الناتجة خلال العملية وإبعادها عن موقع التشغيل [1 ، 2] .

يعتمد حجم المعدن المزال على المتغيرات الأساسية لعملية التشغيل (المتمثلة بالفولتية ، كثافة التيار ، زمن مكوث النبضة ، القطبية) وعلى نوع المعدن المشغل ، نوع القطب . كما ويؤثر حجم المعدن المزال بدوره على الخشونة السطحية للسطح المشغل وكذلك على تأكّل القطب عند استمرار التشغيل ، حيث يفقد القطب شكله الدقيق مما يستوجب ضرورة استبداله [3 ، 4] . ولكي تتجزء عملية التشغيل بالشرارة الكهربائية بشكل منتظم ومستمر يتطلب ذلك شرارة كهربائية مستقرة وفجوة (Gap) مناسبة بين القطب (العدة) والشعلة التي تكون بحدود (0.025) ملم ، حيث إن اتساع الفجوة لا يساعد على تأمين المحلول الالكتروني وبالتالي يعيق حصول عملية التشغيل ، بينما يؤدي صغر الفجوة إلى التحام القطب بالشغل لذا يتم التحكم بهذه الفجوة عن طريق مؤازر ميكانيكي (Servo – Mechanism) [5] كما يؤدي زيادة التيار إلى زيادة كمية المعدن المزال من الشعلة وتؤثر أيضا الطاقة الكهربائية الموجودة في كل نبضة على خشونة السطح المشغل وكما موضح في العلاقة التالية [6] :

$$Ra = 0.75 + 0.43 Ip^{(0.6)} \cdot E^{(0.106)} \quad \dots \quad (1)$$

حيث ان :

Ip = Pulse Current (A)

E = Pulse Energy (J)

كما ويعتبر اختيار القطبية للشعلة (Work piece) وللقطب (Electrode) ومن أكثر العوامل المؤثرة على مقدار التأكّل الذي يحصل للقطب والشعلة ، وفي أغلب الأحيان يربط القطب (أداة القطع) إلى القطب السالب والقطعة المشغولة إلى القطب الموجب عند التشغيل باستخدام نبضات قصيرة ألازمان (100 مليكرو ثانية) في حين يربط قطب التشغيل إلى القطبية الموجبة عند استخدام نبضات بألازمان طويلة (1000 مليكرو ثانية) [8 ، 7] .

وقد أثبتت بعض الدراسات [9 ، 10] مساوى استخدام المركبات العضوية كمحاليل الكترونيات حيث انها تسبب توليد غازات سامة ، بالإضافة إلى عناية خاصة في النقل والخزن كما انها تؤدي إلى حدوث حرائق ، وكذلك فإنها تؤدي إلى تبديد جزء من طاقة الشرارة خلال التفاعل الكيميائي كما وجد أيضا ان استخدام النحاس كقطب لتشغيل الفولاذ يؤدي إلى تكوين طبقة من القطران التي يصعب إزالتها من الشعلة في حين يؤدي استخدام الكرافيت كقطب لتشغيل الفولاذ إلى إشباع المحلول الالكتروني بكاربيد الحديد (Fe_3C) .

الإجراء العملي : Experimental Produce

تم اختيار الكاريبيات (K30, GT50) في هذا البحث لكونها أكثر أنواع الكاريبيات استخداماً في صناعة القوالب ، وان اغلب منشأتنا الصناعية تعتمد عليها في صناعة القوالب. الجدول (1) يوضح التركيب الكيميائي لهذه المواد . اما بالنسبة الى مواد أقطاب التشغيل فهي من النحاس أو الكرافيت ، والجدول (2) يوضح بعض الخواص الفيزيائية لهذه المواد .

استخدام جهاز اختبار الكسر العرضي (TRS) بعد تصفيره ومعايرته ، نوع (Zwick 1454) لتحديد طاقة الكسر العرضي للعينات التي تم تشغيلها في ظروف مختلفة وقد تم استخدام عوارض إسناد كاريبيانية نوع SH للتحميل وحسب المواصفات القياسية 76 - B 406 ، 3327 - ISO . وقد أنجزت عملية التشغيل بالشرارة الكهربائية بعد تحضير العينات وإعداد الماكينة للتشغيل ، كما تم ضبط الماكينة وفق ظروف التشغيل الموضحة حسب الجدول (3- a , b) . في حين تم حساب معدل إزالة المعدن بالاعتماد على الزمن المستغرق خلال عملية التشغيل بالشرارة الكهربائية حيث حدد وزن العينة قبل التشغيل وبعده لتحديد مقدار فقدان الوزن نتيجة التشغيل .

$$\text{معدل إزالة المعدن} = \frac{\text{وزن المعدن المزال (ملغم)}}{\text{الزمن (دقائق)}}$$

وزن المعدن المزال (ملغم)= وزن العينة قبل التشغيل (ملغم)- وزن العينة بعد التشغيل (ملغم)
اما نسبة التأكل في القطب (العدة) فقد تم حسابها بالاعتماد على معدل إزالة المعدن للقطب والشعلة حسب المعادلة التالية :

$$\text{نسبة تأكل القطر} = \frac{\text{معدل إزالة معدن القطب (ملغم/دقيقة)}}{\text{معدل إزالة معدن القطعة المشغولة (ملغم/دقيقة)}}$$

ان عينات عملية التشغيل بالشرارة الكهربائية قد تم تقطيعها من قضبان قياسية منتجة بطريقة تكنولوجيا المساحيق ، وبطول (43.2) ملم لغرض اختبارات الكسر الصدمي ، وقد اخذ بنظر الاعتبار دقة الأبعاد وتعامد الأسطح من محاورها لجميع العينات وكذلك خسونة السطح ونظافتها بازالة المتعلقات الناتجة عن عملية التلبيد (Sintering) . في حين تم تحضير أقطاب التشغيل بالشرارة الكهربائية بعد تقطيعها من قضبان الكرافيت (كرافيت 86 % + المنيوم 14 %) والنحاس النقي 99.98 % ، وقد تم تشغيل هذه الأقطاب وحسب الأبعاد المطلوبة لها بمقطع مسطح وبأبعاد (5 × 10) ملم ، حيث أجريت عملية الصقل على السطح البيني للقطب المقابل للقطعة المشغولة اما فيما يخص حساب إجهاد الكسر العرضي فقد تم من خلال المعادلة التالية :

$$\sigma = \frac{3FL}{2bh^2}$$

حيث ان : σ = إجهاد الكسر العرضي (نيوتن / ملم²)

F = الحمل المطلوب للكسر (نيوتن)

L = المسافة بين المسندين للاسطوانتين (ملم)

b = عرض العينة (ملم)

h = ارتفاع العينة (ملم)

النتائج والمناقشة : Result and Discussion

تتضمن ظروف التشغيل بالشارة الكهربائية على عدة متغيرات تسيطر على كفاءة التشغيل والمتمثلة بزمن مكوث النبضة (الذي يساعد على استقرارية حدوث الشارة الكهربائية بين القطب والقطعة المشغالة وبالتالي استمرار عملية التشغيل).

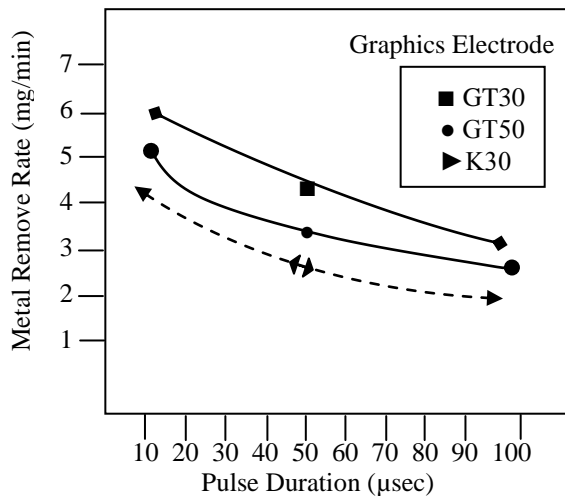
- (1) تأثير زمن مكوث النبضة على:
- (a) معدل إزالة المعدن للكاريبيات باختلاف نوع القطب

يوضح الشكل (1) تأثير زمن مكوث النبضة على معدل إزالة المعدن للكاريبيات المشغالة باستخدام أقطاب من النحاس ، حيث وجد ان زيادة زمن مكوث النبضة من (5) مايكروثانية الى (30) مايكروثانية يؤدي الى إنخفاض في عدد ضربات الشارة وبالتالي تنخفض القابلية على إزالة عدد أكبر من الاجزاء الصغيرة من سطح القطعة المشغالة وبالتالي يؤدي الى انخفاض معدل ازالة المعدن لجميع الكاريبيات المستخدمة (GT 50 ، GT 30 ، K30) نتيجة انخفاض عدد ضربات الشارة التي لها القابلية على إزالة عدد كبير من الاجزاء الصغيرة من سطح القطعة المشغالة نتيجة الانصهار والتباخر الحاصل في ان واحد ولكن عند زيادة زمن مكوث النبضة الى (100) مايكروثانية فان الانخفاض في معدل الإزالة يكون قليل بسبب الانصهار الكبير للطبقة السطحية للقطعة المشغالة ، حيث ان هذا الانصهار يؤدي الى توسيع الفوهات التي تظهر على السطح لذا يقل تأثيرها في انخفاض معدل الإزالة للمعدن نتيجة شتت الحرارة في منطقة الانصهار .

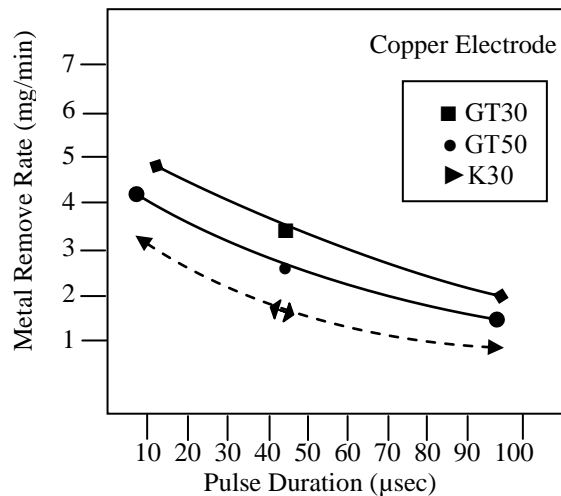
أما الشكل (2) فيبين تأثير زمن مكوث النبضة على معدل إزالة المعدن لقطعة التشغيل باستخدام أقطاب الكرافيت حيث ينخفض معدل إزالة المعدن بشكل كبير عند زيادة زمن مكوث النبضة من (5 - 30) مايكروثانية ، ولكن هذا الانخفاض يقل قليلا عند زيادة زمن المكوث إلى (100) مايكروثانية وعند الإمعان في الأشكال (1،2) نجد ان معدل الإزالة عند تشغيل الكاريبي (GT30) هو اكبر مما هو عليه للكاريبي (GT50) والأخير هذا بدوره يكون معدل الإزالة فيه اكبر من الكاريبي (K30) وقد يرجع السبب في ذلك الى الاختلاف في كل من التركيب الكيمياوي وحجم الحبيبات لتلك الكاريبيات . حيث وجد ان الكاريبي من نوع (GT30) يتضمن على (85 %) كاريبي و (15 %) كوبالت كمادة رابطة ، أما الحجم الحبيبي لها فهو صغير بحدود (0.75) مايكرومتر مما يسهل من عملية قلعها أثناء تعرضها للشارة الكهربائية (بسبب تركيز الحرارة) والذي يساعد على ذلك أيضا هو نسبة المادة الرابطة القليلة (الكوبالت) التي تحيط بحببيات الكاريبي تكون رقيقة ، وعلى هذا الأساس يكون معدل الإزالة كبير .

أما الكاريبيات من نوع (GT50) [المتضمنة على (75 %) كاريبي مع (25 %) كوبالت ، والحجم الحبيبي لها بحدود 1.2 مايكرومتر] فان المادة الرابطة التي تحيط بالحبيبات تكون ذات طبقة سميكة يصعب قلعها أو إزالتها من سطح الكاريبي بسبب احتياجها الى طاقة عالية أثناء التفريغ الكهربائي في حين وجد ان الكاريبيات من نوع (K30) معدل إزالة المعدن لها منخفض جدا بالمقارنة مع الأنواع السابقة بسبب الحجم الحبيبي لها (بحدود 3 - 2 مايكرومتر) الذي يحتاج الى طاقة عالية لانتزاع الحبيبات من سطح القطعة المشغالة خلال عملية التفريغ الكهربائي.

وعند إجراء المقارنة بين الإشكال السابقة (1 ، 2) نجد ان معدل الإزالة لجميع الكاريبيات المستخدمة اكبر ما يمكن عند استخدام أقطاب الكرافيت بالمقارنة مع أقطاب النحاس بسبب قابلية التوصيل الحراري العالية للنحاس مقارنة بالكرافيت حيث تزداد الحرارة في منطقة التشغيل نتيجة حدوث الشارة الكهربائية وهذه وبالتالي تؤدي الى استهلاك أقطاب النحاس بشكل أسرع من أقطاب الكرافيت .



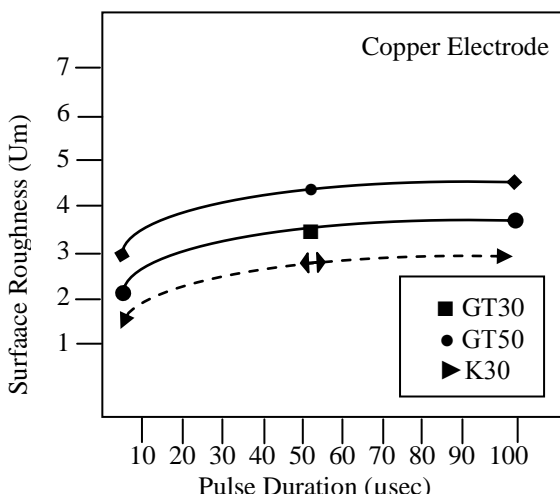
الشكل (2) يوضح تأثير زمن مكوث النبضة على معدل إزالة المعدن للكاربيدات باستخدام أقطاب الكرافيت



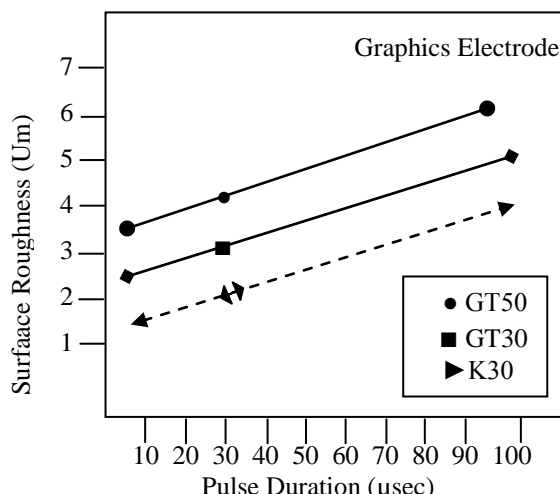
الشكل (1) يوضح تأثير زمن مكوث النبضة على معدل إزالة المعدن للكاربيدات باستخدام أقطاب النحاس

(b) الخشونة السطحية للكاربيدات باختلاف نوع القطب

عند مقارنة أنواع الكاربيدات GT30 ، K30 نجد ارتفاع نسبة الكوبالت في النوع GT50 الذي يقدر بـ (25%) و (15%) (6%) للأنواع (GT30 ، K30) على التوالي حيث أن نسبة الكوبالت تعني الانصهار الكبير لهذه المادة وتجمعها على السطح خلال ضربات الشراراة الكهربائية التي تأخذ أشكال مشابهة للفوهات البركانية مما يزيد من الخشونة السطحية وعند المقارنة بين الأشكال (3-4) وجد أن الخشونة السطحية عند التشغيل بأقطاب من الكرافيت تكون أعلى مما هو عليه عند التشغيل بأقطاب من النحاس والسبب في ذلك يعود إلى أن الحرارة المترکزة في منطقة التشغيل عند استخدام أقطاب الكرافيت تكون أكثر، نتيجة انخفاض قابلية التوصيل الحراري لها وبالتالي انخفاض تبدد الحرارة عندها، لذا يزداد انصهار معدن الكوبالت ومن ثم ترتفع الخشونة السطحية لأن التصاق معدن الكوبالت المنصهر بسطح القطب يلعب دور كبير في زيادة الخشونة السطحية.

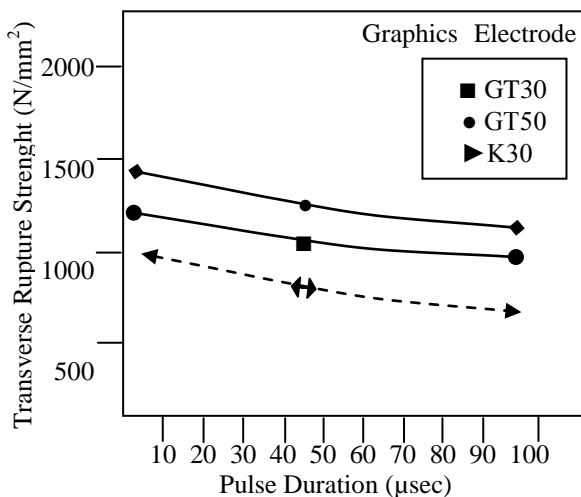


الشكل (4) يوضح تأثير زمن مكوث النبضة على الخشونة السطحية باستخدام أقطاب النحاس

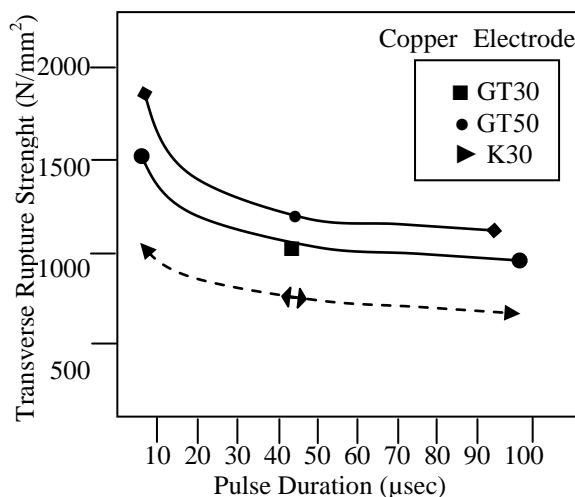


الشكل (3) يوضح تأثير زمن مكوث النبضة على الخشونة السطحية باستخدام أقطاب الكرافيت

(c) مقاومة الكسر العرضي للكاربيدات المستخدمة باختلاف نوع القطب: إن التوصيل الحراري العالي لأقطاب النحاس يسهل من تبدد الحرارة الناتجة إثناء العملية وبالتالي يقل انصهار معدن الكوبالت ومن ثم تتحفظ الخشونة السطحية كما توضح الإشكال (5،6) تأثير زمن مكوث النبضة على إجهاد الكسر العرضي حيث ينخفض إجهاد الكسر العرضي مع زيادة زمن مكوث النبضة لجميع الكاربيدات المستخدمة في البحث نتيجة ارتفاع الخشونة السطحية وتكون الشفقة الدقيقة على سطح التشغيل لها ، التي تعمل على تمركز الاجهادات وبالتالي حدوث الفشل. عند المقارنة بين أنواع الكاربيدات نجد ان الكاربيدات من نوع (GT50) لها أعلى مقاومة للكسر العرضي يليها النوع (GT30) ، ثم النوع (K30) والسبب في ذلك يعود الى النسبة العالية من الكوبالت (Co) في الكاربيد (GT50) بالمقارنة مع الأنواع الأخرى ، حيث أن النسبة العالية من الكوبالت تزيد من المثانة ومقاومة الكسر العرضي إما بالنسبة إلى تأثير نوع القطب على مقاومة الكاربيد للكسر العرضي فقد وجد ان مقاومة الكسر العرضي لأقطاب النحاس اكبر من أقطاب الكرافيت بسبب الخشونة السطحية العالية الناتجة عن التشغيل بأقطاب الكرافيت .

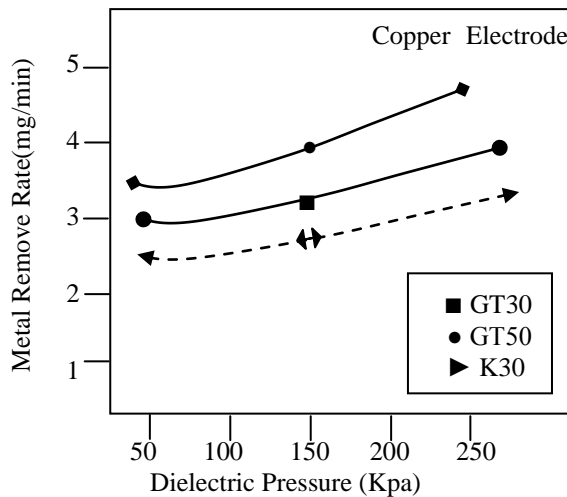


الشكل (6) يوضح تأثير زمن مكوث النبضة على مقاومة الكسر العرضي باستخدام أقطاب الكرافيت



الشكل (5) يوضح تأثير زمن مكوث النبضة على مقاومة الكسر العرضي باستخدام أقطاب النحاس

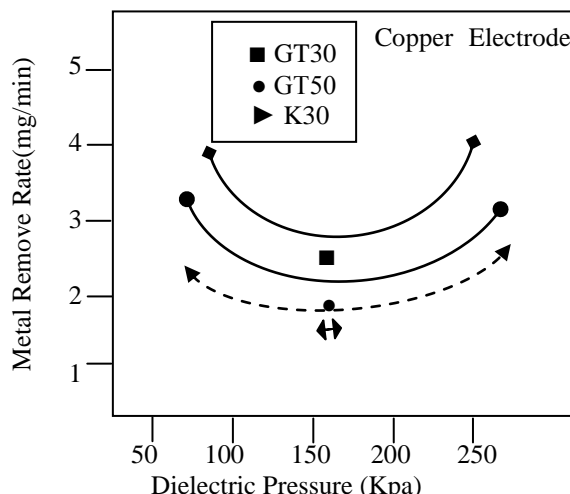
(2) تأثير ضغط المحلول الالكتروني على :
(a) معدل إزالة الكاربيدات المستخدمة على قطب النحاس يوضح الشكل (7) تأثير ضغط المحلول الالكتروني على معدل إزالة الكاربيدات (GT30 ، GT50 ، K30) عند تشغيلها بالشرارة الكهربائية باستخدام أقطاب النحاس حيث وجد زيادة معدل إزالة الكاربيدات مع زيادة ضغط المحلول الإلكتروني نتيجة إمكانية وسهولة خروج نواتج عملية التفريغ من منطقة التشغيل مما يسهل من حدوث واستمرار الشرارة الكهربائية واستقرارها بكفاءة لغرض إزالة جسيمات الكاربيد من السطح في حين يؤدي استخدام ضغوط منخفضة للمحلول الإلكتروني إلى تراكم مخلفات التشغيل في تلك المناطق مما يعيق حدوث الشرارة الكهربائية وفي أحيان أخرى يؤدي إلى حدوث الدائرة القصيرة نتيجة امتلاء الفجوة بين القطب وسطح قطعة التشغيل بتلك المخلفات كما يلاحظ أيضاً من الشكل (7) ان معدل الإزالة لكاربيد (GT30) اكبر بالمقارنة من معدل الإزالة للكاربيدات (GT50) و(K30) وهذا يرجع أيضاً إلى الاختلاف في التركيب الكيميائي لكل منها حيث ان نسبة المادة الرابطة (Co) الكوبالت (Co) في الكاربيد (GT30) تكون قليلة (بحدود 15%) بالمقارنة بالأنواع الأخرى (GT50 ، K30) مما يقلل من قوة التمسك بين جسيمات الكاربيد (GT30) وسهولة انتزاعها بالإضافة إلى صغر حجم تلك الجسيمات (GT30) مقارنة بالكاربيدات الأخرى (GT50 ، K30) مما يسهل من اقتلاعها خلال تعرضها للشرارة الكهربائية (بسبب تركيز الحرارة عليها) وسهولة إزالة معدن الكوبالت الذي يحيط بتلك الجسيمات .



**الشكل (7) يوضح تأثير ضغط المحلول
الإلكتروليتي لقطب النحاس**

(b) معدل استهلاك القطب باختلاف الكاريبيات المستخدمة:

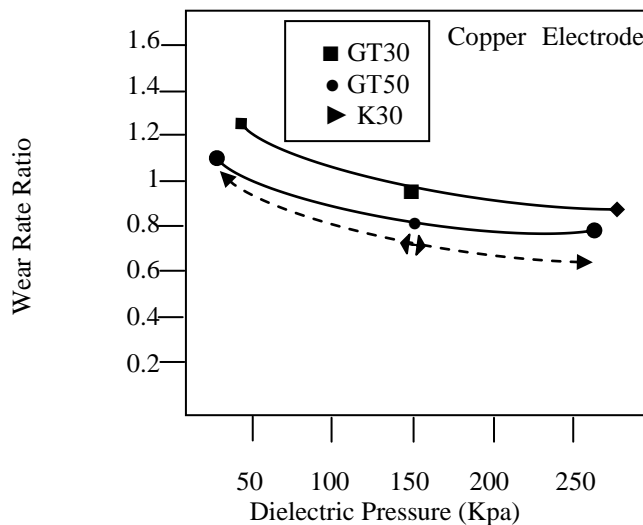
إن تأثير ضغط المحلول الإلكتروني على معدل إزالة معدن قطب النحاس وكما موضح في الشكل (8) والذي يبين في البداية انخفاض معدل إزالة القطب مع زيادة ضغط المحلول من (50 → 145) كيلو بascal بسبب تجمع مخلفات عملية التشغيل عند استخدام الضغوط الواطنة والتي تؤدي إلى تركيز الحرارة على القطب وليس على سطح القطعة المشغولة وبما ان نقطة انصهار الكاريبي لذى يستهلك قطب النحاس بسرعة وفي بعض الأحيان يؤدي ذلك إلى حدوث الدائرة القصيرة بسبب الضغوط الواطنة للمحلول ، حيث يلاحظ عند زيادة ضغط المحلول إلى (145) كيلو بascal فان ذلك يؤدي إلى سهولة إمكانية خروج مخلفات عملية التفريغ بعيدا عن منطقة التشغيل مما يسهل من إزالة معدن القطب في حين ان زيادة ضغط المحلول إلى (250) كيلوبascal فان معدل إزالة معدن القطب هو الذي يزداد في هذه الحالة بسبب انتقال جزء من الحرارة (الناتجة عن الشرارة الكهربائية خلال العملية) إلى القطب كما يؤدي استخدام الضغوط العالية للمحلول الإلكتروني إلى حدوث ظاهرة الخواص في المقاطع الحادة مما يؤدي إلى تبخّر المحلول وزيادة في استهلاك معدن القطب .



**الشكل (8) يوضح تأثير ضغط المحلول
الإلكتروليتي على معدل إزالة معدن قطب النحاس**

c) نسبة تآكل القطب الى الكاربيدات المستخدمة:
إما الشكل (9) فيوضح تأثير ضغط محلول الالكتروني على نسبة التآكل حيث ان زيادة ضغط محلول من (50 ← 145) كيلو باسكال.

يؤدي الى انخفاض نسبة تآكل قطب النحاس الى الشعلة وهذا يعني ان معدل إزالة معدن الشعلة يكون اكبر من معدل إزالة معدن القطب ولكن عند زيادة ضغط محلول الى (250) كيلوباسكال فسوف يحصل العكس أي ان معدل إزالة معدن القطب سوف يكون اكبر من معدل إزالة معدن الشعلة لأن الضغوط العالية سوف تعمل على خروج المخلفات بعيداً عن منطقة التشغيل مما يجعل الشرارة الكهربائية أكثر كفاءة في معدل الإزالة.

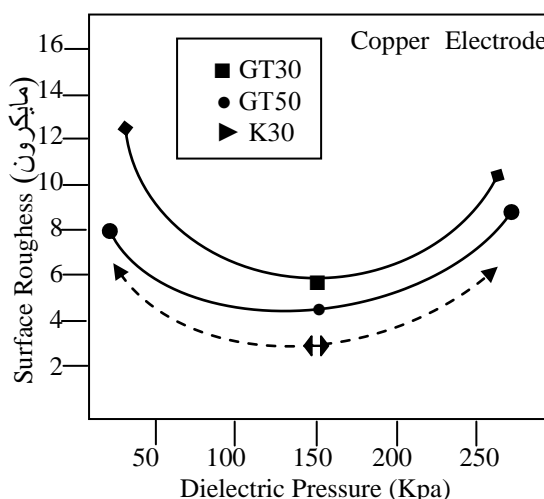


الشكل (9) يوضح تأثير ضغط محلول الالكتروني على نسبة تآكل معدن قطب النحاس

d) الخشونة السطحية للكاربيدات المستخدمة:

يوضح الشكل (10) تأثير ضغط محلول الالكتروني على الخشونة السطحية للكاربيدات المستخدمة في البحث حيث يلاحظ في البداية انخفاض مقدار الخشونة السطحية مع زيادة ضغط محلول من (50 ← 145) كيلوباسكال والسبب في ذلك يرجع الى ان زيادة ضغط محلول يؤدي الى دفع مخلفات التفريغ الكهربائي بعيداً عن منطقة التشغيل وعدم التصاقها بسطح الشعلة (نتيجة الحرارة العالية).

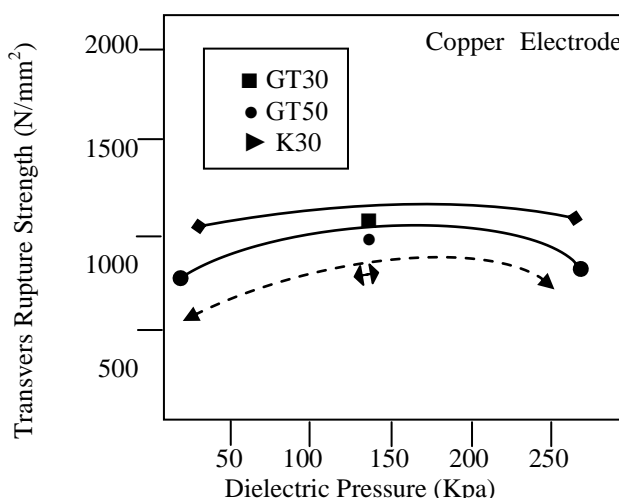
ولكن هذا الشيء يحصل عند استخدام الضغوط الواطئة حيث تلتقط نواتج التشغيل بسطح الشعلة مما يؤدي الى تركيز الشرارة الكهربائية وبالتالي رفع درجة الحرارة وانصهار تلك المناطق وتوسيعها ومن ثم زيادة خشونة السطح في حين عند زيادة ضغط محلول الى (250) كيلوباسكال فإن ذلك يؤدي الى ارتفاع الخشونة السطحية ولكن بمعدل اقل من الحالة الأولى بسبب الحرارة العالية الناتجة من التشغيل نتيجة تبخّر محلول ومن ثم توسيع الفوهات الناتجة عن ضربات الشرارة الكهربائية على سطح الشعلة التي تعمل على زيادة الخشونة السطحية.



الشكل (10) يوضح تأثير ضغط محلول الالكتروني على الخشونة السطحية باستخدام قطب النحاس

(e) مقاومة الكسر العرضي للكاربيدات المستخدمة:

إما الشكل (11) فيوضح تأثير ضغط محلول الالكتروني على مقاومة الكسر العرضي للكاربيدات حيث يلاحظ في البداية زيادة مقاومة الكسر العرضي للكاربيد مع زيادة ضغط محلول من (50 - 145) كيلوباسكال بسبب انخفاض الخشونة السطحية مما يزيد من الانماء السطحي للسطح المشغل وبالتالي زيادة مقاومة الكسر ، بعد ذلك تنخفض مقاومة الكسر العرضي مع زيادة ضغط محلول الالكتروني بسبب حدوث ظاهرة الخواء في مقاطع المادة مما يؤدي الى تخbir محلول وزيادة الخشونة السطحية والشقوق المجهرية الناتجة والتي تعتبر جمعها مناطق لتركيز الاجهاد (Stresses . (Concentration



الشكل (11) يوضح تأثير ضغط محلول الالكتروني على مقاومة الكسر العرضي للكاربيدات باستخدام قطب النحاس

Conclusions :

- .1 تزداد قيمة الخشونة السطحية للقطعة المشغلة مع زيادة زمن مكوث النبضة، حيث تزداد هذه القيمة بشكل كبير عند استخدام أقطاب الكرافيت بالمقارنة مع أقطاب النحاس ، وهذا وبالتالي يقود الى انخفاض في مقاومة الكسر العرضي للقطعة المشغلة .
- .2 زيادة زمن مكوث النبضة يؤدي الى انخفاض كل من معدل إزالة القطب ومعدل إزالة معدن الشعلة ، لكن معدل استهلاك أقطاب النحاس يكون أسرع من استهلاك أقطاب الكرافيت في جميع الظروف
- .3 زيادة ضغط محلول الالكتروليتي يؤدي الى زيادة معدل إزالة معدن الشعلة وزيادة مقاومة الكسر العرضي ، إما زيارته (الضغط) عن حد (144) كيلو باسكال فسوف يعمل على تقليل الخشونة السطحية ومعدل إزالة القطب ونسبة التآكل . أي ان زيادة ضغط محلول له تأثير عكسي .
- .4 الكاربيدات من نوع (GT 30) تعطي اكبر معدل إزالة للمعدن في جميع الظروف على عكس النوع (K30) . إما الكاربيدات من نوع (GT50) فلها اكبر مقاومة للكسر العرضي ، بالإضافة إلى أنها تعطي أعلى خشونة سطحية .
- .5 يعتبر استخدام أقطاب الكرافيت في تشغيل الكاربيدات ناجحا بسبب معدل الإزالة الكبير لمعدن الشعلة ، والذي أحيانا قد يؤدي الى حدوث الدائرة القصيرة وزيادة الخشونة السطحية .

الجدول (1) يوضح التركيب الكيميائي وبعض الخواص للكاربيدات المستخدمة في البحث

| Properties of carbides | GT 30 | CT 50 | K 30 | SH |
|------------------------------|------------|-------|-------|----------|
| Density 9 / cm | 13.9 | 13.1 | 14.59 | 13.9 |
| Transverse rupture strength | 2400 | 2700 | 1600 | 1900 |
| Hardness Hv. | 1050 | 800 | 1300 | 1550 |
| Wc grain size mm | 0.75 | 1.3 | 2.3 | 2.3 |
| Impact value J | 1.8 | 2.6 | 1.4 | 0.77 |
| Thermal conductivity w / m.k | 115 | 90 | 110 | 90 |
| Co (wt %) | 15 % | 25 % | 6 % | 5.5 % |
| Wc (wt %) | 83 % | 75 % | 94 % | 86 % |
| Tic + Tas (wt%) | (1.5+0.5)% | ---- | ---- | (2.5+6)% |

الجدول (2) يوضح خواص الأقطاب المستخدمة في البحث

| Properties of electrodes | Cu | Graphics G |
|-------------------------------------|--------|---------------|
| Compositions | 99.98% | A1 14 % G86 % |
| Melting point C | 1083 | 3800 |
| Young's modules of elasticity | 129.4 | ----- |
| Electric conductivity $\mu\Omega m$ | 60 | 0.03 |
| Thermal conductivity W (m.k) | 394 | 24 |
| Density g / cm ³ | 8.85 | 2.2 |

الجدول (3 - a) يبين أزمان المستغرقة في عملية التشغيل نتيجة تغيير زمن مكوثر النبضة

| Machining period min | Pulse duration (μs) | Type of electrode | Carbide Type of |
|----------------------|----------------------------|-------------------|-----------------|
| 60 – 54 53 – 30 | 5 | Copper graphite | GT30, GT50, K30 |
| | 5 | | |
| 85 – 70 65 – 45 | 30 | Copper Graphic | GT30, GT50, K30 |
| | 30 | | |
| 100 – 85 85 – 55 | 100 | Copper Graphite | GT30, GT50, K30 |
| | 100 | | |

الجدول (3 - b) يبين أزمان المستغرقة في عملية التشغيل نتيجة تغيير ضغط محلول الالكترولطي

| Machining min | Dielectric pressure (kpa) | Type of electrode | Type of Carbide |
|---------------|---------------------------|-------------------|-----------------|
| 110 – 65 | 48 | Copper | GT30, GT50, K30 |
| 85 – 70 | 144 | Copper | GT30, GT50, K30 |
| 60 - 45 | 240 | Copper | GT30, GT50, K30 |

References

1. K.C Jain and L.N. Aggarwal, 1986, "Unconventional methods of machining", Metal Cutting science and production technology, Jan.
2. P.C. Pandey and S.T. Jilani, 1986, "Electrical machining characteristics of cemented carbides", Wear, pp. 77 – 88.
3. L.C. Lee, L.C. Lim, V. Narayanan and V.C. Venkatesh, 1988, "Quantification of surface damage of tool steel after EDM", Int. J. Mach. Manufacture., Vol. 28, No. 4, pp. 359 – 372.
4. ASTM, 1988, "Metal test and analytical procedures", Annual book of ASTM standards Designation, pp. 36 – 88.
5. M.A.E.R. Merdan and R.D. Arnell, 1989, "Surface integrity of a die steel after electro discharge machining: 1 structure, composition, and hardness", Surface engineering Vol. 5, No. 2, pp. 158 – 164.
6. L.C. Lim, Y.S. Wong and L.C. Lee, 1990, "Effect of reagents on electro discharge machined surface and globule appendages", Surface engineering, Vol. 6, No. 3, and pp. 206 – 217.
7. Masozawa, 1990, "Drilling of deep micro holes by EDM using additional capacity", Bull Japan Soc of Prec. Eng. Vol. 24, No. 4, pp 275 – 286 .
8. D.F. Dauw, C.A. Brown, J.P. van Criethuysen and J.F.L.M. Albert, 1990, "surface topography investigations by fractal analysis of spark eroded electrically conductive ceramics", Cirp annals manufacture technology, vol. 39, No. 1, pp 161 – 165.
9. د. مصطفى احمد رجب ، 2002 ، "دقة الأبعاد وطبيعة الأسطح المتقطبة بالتقريغ الكهربائي وشعاع الليزر " مجلة جامعة دمشق للعلوم والهندسة ، دمشق ، سوريا ، المجلد (19) – العدد (1)-2003 .
10. د. مصطفى احمد رجب ، 1998 ، "تأثير ظروف القطع على مقدار البلى وخشونة السطح عند التشغيل بدرجات الحرارة العالية " ، مجلة التقني ، هيئة التعليم التقني ، بغداد ، موافق للنشر حسب الرقم / 754 في 4/6/1998 .